



УДК 621.316.99

**Д. Г. Колиушко**, канд. техн. наук  
Национальный технический университет  
«Харьковский политехнический ин-т»  
(Украина, 61002, Харьков, ул. Фрунзе, 21,  
тел. (057) 7076280, E-mail: den@kpi.kharkov.ua),

**С. С. Руденко**  
Научно-исследовательский и проектно-конструкторский  
ин-т «Молния» Национального технического университета  
«Харьковский политехнический ин-т»  
(Украина, 61013, Харьков, ул. Шевченко, 47,  
тел. (057) 7076671, E-mail: sergej\_rudenko@mail.ru)

### **Электрическое поле точечного источника тока в трехслойном проводящем полупространстве**

Разработана математическая модель точечного источника тока, расположенного в грунте с трехслойной структурой. Показана адекватность предложенной модели ранее известным моделям с расположением источника тока в двухслойной структуре.

Розроблено математичну модель точкового джерела струму, розміщеного в ґрунті з тришаровою структурою. Показано адекватність запропонованої моделі відомим моделям з розміщенням джерела струму у двошаровій структурі.

*К л ю ч е в ы е с л о в а : математическое моделирование, электрическое поле, потенциал точечного источника, трехслойный грунт.*

**Постановка задачи и обзор публикаций.** Одним из основных элементов для обеспечения нормального функционирования оборудования и безопасной эксплуатации станций и подстанций является заземляющее устройство (ЗУ) [1]. В настоящее время для определения его нормируемых параметров (сопротивления ЗУ, напряжения на ЗУ и напряжения прикосновения) используется математическая модель неэквипотенциального ЗУ, размещенного в двухслойном грунте [2], позволяющая учесть произвольное расположение заземлителей в пространстве. Однако по результатам измерений электрических свойств земли (проведено вертикальное электрическое зондирование для 750 объектов) грунт, как правило, имеет три, а иногда и более слоев. Учет параметров многослойного грунта обуславливает повышение точности расчета нормируемых параметров ЗУ.

Для построения математической модели ЗУ используется метод точечного источника тока (ТИТ). В [3] в общем виде рассмотрена методика

получения выражений для расчета потенциала ТИТ, расположенного в  $i$ -м слое  $n$ -слойной электрической структуры.

В неявном виде решение задачи для трехслойных структур с плоскопараллельными границами раздела слоев представлено в [4]. Для приведения его к явному виду соотношения интегрируются с использованием преобразования Вебера—Липшица, при этом знаменатель подынтегральных выражений разлагается в степенной ряд. Приведенные в неявном виде соотношения позволяют определить потенциал ТИТ при расположении его только в первом или третьем слое. В [4] также рассмотрена возможность перехода от трехслойной модели к двухслойной, который может быть применен в качестве проверки правильности решения.

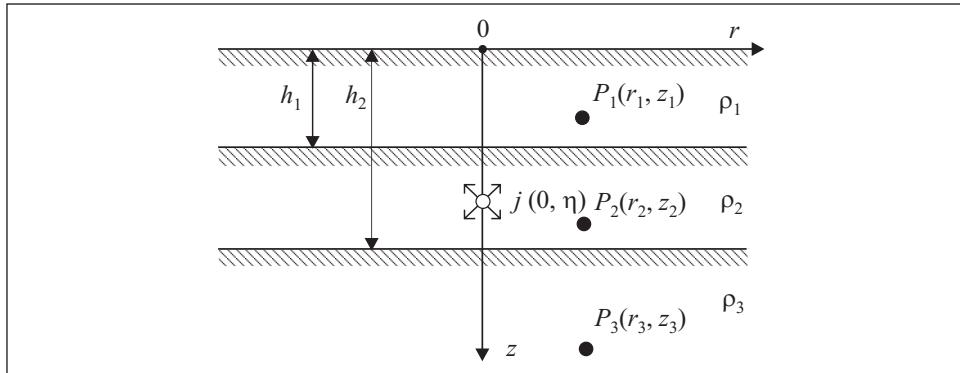
В [5] показано, что для трехслойной структуры аналитическое решение интегралов [4] затруднительно, поскольку процедура разложения приводит к необходимости взятия для каждого из выражений  $m + 1$  интегралов от многочленов в  $m$  степени, где  $m + 1$  — число членов ряда. Решение может быть найдено с использованием приближенного интегрирования при аппроксимации знаменателя подынтегральных выражений в ряд экспонент с помощью графоаналитического метода [5]. В [6] рассмотрены сложности применения этого метода для автоматизации расчета на ПЭВМ и предложен способ аппроксимации функции с помощью метода наименьших квадратов (МНК).

Проверка приведенных в [5] выражений для расчета потенциала при размещении ТИТ во втором слое показала, что после перехода от трехслойной модели к двухслойной не все выражения, в частности при расположении ТИТ и (или) точки наблюдения во втором или третьем слое, соответствуют принятым для двухслойной модели [3]. Учитывая данные обстоятельства, можно судить о неточности существующей математической модели поля ТИТ.

Представляется целесообразной разработка математической модели поля ТИТ, расположенного в любом слое трехслойной среды, с возможностью реализации ее на ПЭВМ.

**Результаты исследований.** Пусть ТИТ  $j$  расположен в  $k$ -м слое трехслойного грунта. Сделаем следующие допущения: через границу земли и атмосферы ток не проходит, границы раздела слоев — плоскопараллельные и в пределах каждого из них удельное электрическое сопротивление  $\rho_i$  однородно. Электрические сопротивления первого, второго и третьего слоев обозначим  $\rho_1$ ,  $\rho_2$  и  $\rho_3$ , глубины границ разделов первого и второго слоев —  $h_1$ , второго и третьего —  $h_2$ . Требуется найти электрический потенциал  $\varphi$  в любой точке проводящего полупространства.

Электрическое поле ТИТ в трехслойной среде обладает осевой симметрией. Поэтому целесообразно применить криволинейную ортогональную цилиндрическую систему координат  $(r, z, \psi)$  с осью  $z$ , перпендику-



Точечный источник тока  $j$ , размещенный во втором слое трехслойной структуры:  $P_1(r_1, z_1)$ ,  $P_2(r_2, z_2)$ ,  $P_3(r_3, z_3)$  — точки наблюдения

лярной к границе полупространства и проходящей через точечный источник (см. рисунок).

Рассматриваемая задача состоит из уравнения Лапласа и дополнительных условий. Поскольку потенциал не зависит от координаты  $\psi$ , уравнение Лапласа принимает вид [7]

$$\frac{1}{r} \frac{\partial \varphi}{\partial r} + \frac{\partial^2 \varphi}{\partial r^2} + \frac{\partial^2 \varphi}{\partial z^2} = 0. \quad (1)$$

Применив метод Фурье для разделения переменных [3, 7], общее решение (1) представим как интеграл по параметру  $\lambda$  в пределах от нуля до бесконечности:

$$\varphi(r, z) = \int_0^{\infty} J_0(\lambda r) (ae^{\lambda z} + be^{-\lambda z}) d\lambda, \quad (2)$$

где  $a$  и  $b$  — постоянные, определяемые параметрами грунта, координатами ТИТ и точками наблюдения;  $\lambda$  — параметр разделения. Если ТИТ и точка наблюдения расположены в  $k$ -м слое, то к выражению (2) следует добавить величину потенциала ТИТ в однородном проводящем пространстве [3, 7]

$$\varphi_0 = \frac{I\rho_k}{4\pi} \frac{1}{\sqrt{r^2 + (z - \eta)^2}}, \quad (3)$$

где  $\eta$  — координата ТИТ по оси  $z$ .

Вид функции (2) является общим для всех слоев проводящего полупространства. Однако в каждом слое, в зависимости от расположения ТИТ и точки наблюдения, постоянные принимают свои определенные значения. Поэтому необходимо определить значения  $a_i$  и  $b_i$  для каждого слоя трехслойной электрической структуры.

Для нахождения постоянных  $a_i$  и  $b_i$  воспользуемся следующими дополнительными условиями:

при неограниченном возрастании координаты  $z$  потенциал  $\varphi$  стремится к нулю, следовательно,

$$a_3 = 0; \quad (4)$$

в соответствии с принципом непрерывности электрического тока на границе раздела  $i$ -го и  $(i + 1)$ -го слоев нормальные составляющие векторов плотности электрического тока равны:

$$\frac{1}{\rho_i} \frac{\partial \varphi_i}{\partial z} = \frac{1}{\rho_{i+1}} \frac{\partial \varphi_{i+1}}{\partial z}; \quad (5)$$

из условия равенства тангенциальных составляющих вектора напряженности поля на границах смежных слоев на границе раздела  $i$ -го и  $(i + 1)$ -го слоев потенциалы равны:

$$\varphi_i = \varphi_{i+1}; \quad (6)$$

условие на границе проводящего полупространства имеет вид

$$\left. \frac{\partial \varphi_1}{\partial z} \right|_{z=0} = 0. \quad (7)$$

В соответствии с дополнительными условиями (4)—(7), а также с помощью преобразования Вебера—Липшица [3] составим систему линейных алгебраических уравнений (СЛАУ), которые в зависимости от расположения ТИТ будут иметь следующий вид:

а) ТИТ находится в первом слое ( $h_1 - \eta \geq 0$  и  $h_2 - \eta \geq 0$ ):

$$\begin{aligned} a_1 - b_1 + \frac{I\rho_1}{4\pi} e^{-\lambda\eta} &= 0; \\ \frac{1}{\rho_1} \left( a_1 e^{\lambda h_1} - b_1 e^{-\lambda h_1} - \frac{I\rho_1}{4\pi} e^{-\lambda(h_1 - \eta)} \right) &= \frac{1}{\rho_2} (a_2 e^{\lambda h_1} - b_2 e^{-\lambda h_1}); \\ \frac{1}{\rho_2} (a_2 e^{\lambda h_2} - b_2 e^{-\lambda h_2}) &= -\frac{b_3 e^{-\lambda h_2}}{\rho_3}; \\ a_1 e^{\lambda h_1} + b_1 e^{-\lambda h_1} + \frac{I\rho_1}{4\pi} e^{-\lambda(h_1 - \eta)} &= a_2 e^{\lambda h_1} + b_2 e^{-\lambda h_1}; \\ a_2 e^{\lambda h_2} + b_2 e^{-\lambda h_2} &= b_3 e^{-\lambda h_2}; \end{aligned} \quad (8)$$

б) ТИТ находится во втором слое ( $h_1 - \eta \leq 0$  и  $h_2 - \eta \geq 0$ ):

$$a_1 - b_1 = 0;$$

$$\begin{aligned} \frac{1}{\rho_1}(a_1 e^{\lambda h_1} - b_1 e^{-\lambda h_1}) &= \frac{1}{\rho_2} \left( a_2 e^{\lambda h_1} - b_2 e^{-\lambda h_1} + \frac{I\rho_2}{4\pi} e^{\lambda(h_1-\eta)} \right); \\ \frac{1}{\rho_2} \left( a_2 e^{\lambda h_2} - b_2 e^{-\lambda h_2} - \frac{I\rho_2}{4\pi} e^{-\lambda(h_2-\eta)} \right) &= -\frac{b_3 e^{-\lambda h_2}}{\rho_3}; \\ a_1 e^{\lambda h_1} + b_1 e^{-\lambda h_1} &= a_2 e^{\lambda h_1} + b_2 e^{-\lambda h_1} + \frac{I\rho_2}{4\pi} e^{\lambda(h_1-\eta)}; \\ a_2 e^{\lambda h_2} + b_2 e^{-\lambda h_2} + \frac{I\rho_2}{4\pi} e^{-\lambda(h_2-\eta)} &= b_3 e^{-\lambda h_2}; \end{aligned} \quad (9)$$

в) ТИТ находится в третьем слое ( $h_1 - \eta \leq 0$  и  $h_2 - \eta \leq 0$ ):

$$\begin{aligned} a_1 - b_1 &= 0; \\ \frac{1}{\rho_1}(a_1 e^{\lambda h_1} - b_1 e^{-\lambda h_1}) &= \frac{1}{\rho_2}(a_2 e^{\lambda h_1} - b_2 e^{-\lambda h_1}); \\ \frac{1}{\rho_2}(a_2 e^{\lambda h_2} - b_2 e^{-\lambda h_2}) &= \frac{1}{\rho_3} \left( \frac{I\rho_3}{4\pi} e^{\lambda(h_2-\eta)} - b_3 e^{-\lambda h_2} \right); \\ a_1 e^{\lambda h_1} + b_1 e^{-\lambda h_1} &= a_2 e^{\lambda h_1} + b_2 e^{-\lambda h_1}; \\ a_2 e^{\lambda h_2} + b_2 e^{-\lambda h_2} &= b_3 e^{-\lambda h_2} + \frac{I\rho_3}{4\pi} e^{\lambda(h_2-\eta)}. \end{aligned} \quad (10)$$

Решая методом Гаусса СЛАУ (8) — (10), находим постоянные  $a_i$  и  $b_i$  в зависимости от расположения ТИТ:

а) ТИТ находится в первом слое ( $h_1 - \eta \geq 0$  и  $h_2 - \eta \geq 0$ ):

$$\begin{aligned} a_1 &= \frac{I\rho_1}{4\pi} \frac{(1+e^{2\lambda\eta})(K_{2,1}e^{-2\lambda h_1} + K_{3,2}e^{-2\lambda h_2})e^{-\lambda\eta}}{F_3(\lambda)}; \\ b_1 &= \frac{I\rho_1}{4\pi} \left[ \frac{(1+e^{2\lambda\eta})(K_{2,1}e^{-2\lambda h_1} + K_{3,2}e^{-2\lambda h_2})e^{-\lambda\eta}}{F_3(\lambda)} + e^{-\lambda\eta} \right]; \\ a_2 &= \frac{I\rho_1}{4\pi} \frac{(1+K_{2,1})K_{3,2}e^{-2\lambda h_2}(1+e^{2\lambda\eta})e^{-\lambda\eta}}{F_3(\lambda)}; \\ b_2 &= \frac{I\rho_1}{4\pi} \frac{(1+K_{2,1})(1+e^{2\lambda\eta})e^{-\lambda\eta}}{F_3(\lambda)}; \\ b_3 &= \frac{I\rho_1}{4\pi} \frac{(1+K_{2,1})(1+K_{3,2})(1+e^{2\lambda\eta})e^{-\lambda\eta}}{F_3(\lambda)}, \end{aligned} \quad (11)$$

где  $K_{2,1}$ ,  $K_{3,2}$  — коэффициенты неоднородности,  $K_{2,1} = \frac{\rho_2 - \rho_1}{\rho_2 + \rho_1}$ ;  $K_{3,2} = \frac{\rho_3 - \rho_2}{\rho_3 + \rho_2}$ ;  $F_3(\lambda)$  — функция, характеризующая трехслойную среду,  $F_3(\lambda) = 1 - K_{2,1}e^{-2\lambda h_1} + K_{2,1}K_{3,2}e^{-2\lambda(h_2-h_1)} - K_{3,2}e^{-2\lambda h_2}$ ;

б) ТИТ находится во втором слое ( $h_1 - \eta \leq 0$  и  $h_2 - \eta \geq 0$ ):

$$\begin{aligned} a_1 &= \frac{I\rho_2}{4\pi} \frac{(1-K_{2,1})(1+K_{3,2}e^{-2\lambda(h_2-\eta)})e^{-\lambda\eta}}{F_3(\lambda)}; \\ b_1 &= \frac{I\rho_2}{4\pi} \frac{(1-K_{2,1})(1+K_{3,2}e^{-2\lambda(h_2-\eta)})e^{-\lambda\eta}}{F_3(\lambda)}; \\ a_2 &= \frac{I\rho_2}{4\pi} \frac{K_{3,2}e^{-2\lambda h_2}}{F_3(\lambda)} [(1-K_{2,1}e^{-2\lambda h_1})e^{\lambda\eta} + (1-K_{2,1}e^{2\lambda h_1})e^{-\lambda\eta}]; \\ b_2 &= \frac{I\rho_2}{4\pi} \frac{(1-K_{2,1}e^{2\lambda h_1})(1+K_{3,2}e^{-2\lambda(h_2-\eta)})e^{-\lambda\eta}}{F_3(\lambda)}; \\ b_3 &= \frac{I\rho_2}{4\pi} \frac{(1+K_{3,2})}{F_3(\lambda)} [(1-K_{2,1}e^{-2\lambda h_1})e^{\lambda\eta} + (1-K_{2,1}e^{2\lambda h_1})e^{-\lambda\eta}]; \end{aligned} \quad (12)$$

в) ТИТ находится в третьем слое ( $h_1 - \eta \leq 0$  и  $h_2 - \eta \leq 0$ ):

$$\begin{aligned} a_1 &= \frac{I\rho_3}{4\pi} \frac{(1-K_{2,1})(1-K_{3,2})e^{-\lambda\eta}}{F_3(\lambda)}; \quad b_1 = \frac{I\rho_3}{4\pi} \frac{(1-K_{2,1})(1-K_{3,2})e^{-\lambda\eta}}{F_3(\lambda)}; \\ a_2 &= \frac{I\rho_3}{4\pi} \frac{(1-K_{2,1}e^{-2\lambda h_1})(1-K_{3,2})e^{-\lambda\eta}}{F_3(\lambda)}; \quad b_2 = \frac{I\rho_3}{4\pi} \frac{(1-K_{2,1}e^{2\lambda h_1})(1-K_{3,2})e^{-\lambda\eta}}{F_3(\lambda)}; \\ b_3 &= \frac{I\rho_3}{4\pi} \frac{(1+K_{2,1}K_{3,2}e^{2\lambda(h_2-h_1)} - K_{2,1}e^{2\lambda h_1} - K_{3,2}e^{2\lambda h_2})e^{-\lambda\eta}}{F_3(\lambda)}. \end{aligned} \quad (13)$$

После подстановки в (2) постоянных  $a_i$  и  $b_i$ , найденных по формулам (11) — (13), с учетом (3) запишем в неявном виде выражения для определения потенциала в зависимости от расположения ТИТ и точки наблюдения, воспользовавшись для этого преобразованием Вебера—Липшица [3]:

а) при расположении ТИТ в первом слое:

$$\Phi_{1,1}(r, z) = \frac{I\rho_1}{4\pi} \left[ \frac{1}{\sqrt{r^2 + (z-\eta)^2}} + \frac{1}{\sqrt{r^2 + (z+\eta)^2}} + \right.$$

$$\begin{aligned}
 & + \int_0^{\infty} \frac{J_0(\lambda r)}{F_3(\lambda)} (1 + e^{2\lambda\eta})(K_{2,1}e^{-2\lambda h_1} + K_{3,2}e^{-2\lambda h_2})(e^{\lambda(z-\eta)} + e^{-\lambda(z+\eta)}) d\lambda \Big]; \\
 \Phi_{2,1}(r, z) &= \frac{I\rho_1}{4\pi} \int_0^{\infty} \frac{J_0(\lambda r)}{F_3(\lambda)} (1 + e^{2\lambda\eta})(1 + K_{2,1}) e^{\lambda(z-\eta)} (K_{3,2}e^{-2\lambda h_2} + e^{-2\lambda z}) d\lambda; \\
 \Phi_{3,1}(r, z) &= \frac{I\rho_1}{4\pi} \int_0^{\infty} \frac{J_0(\lambda r)}{F_3(\lambda)} (1 + e^{2\lambda\eta})(1 + K_{2,1})(1 + K_{3,2}) e^{-\lambda(z+\eta)} d\lambda; \quad (14)
 \end{aligned}$$

б) при расположении ТИТ во втором слое:

$$\begin{aligned}
 \Phi_{1,2}(r, z) &= \frac{I\rho_2}{4\pi} \int_0^{\infty} \frac{J_0(\lambda r)}{F_3(\lambda)} (1 - K_{2,1})(1 + K_{3,2}e^{-2\lambda(h_2-\eta)})(e^{\lambda(z-\eta)} + e^{-\lambda(z+\eta)}) d\lambda; \\
 \Phi_{2,2}(r, z) &= \frac{I\rho_2}{4\pi} \left[ \frac{1}{\sqrt{r^2 + (z-\eta)^2}} + \right. \\
 & + \int_0^{\infty} \frac{J_0(\lambda r)}{F_3(\lambda)} K_{3,2}e^{-2\lambda h_2} [(1 - K_{2,1}e^{-2\lambda h_1}) e^{\lambda(z+\eta)} + (1 - K_{2,1}e^{2\lambda h_1}) e^{-\lambda(\eta-z)}] d\lambda + \\
 & \left. + \int_0^{\infty} \frac{J_0(\lambda r)}{F_3(\lambda)} (1 - K_{2,1}e^{2\lambda h_1})(1 + K_{3,2}e^{-2\lambda(h_2-\eta)}) e^{-\lambda(\eta+z)} d\lambda \right]; \\
 \Phi_{3,2}(r, z) &= \frac{I\rho_2}{4\pi} \int_0^{\infty} \frac{J_0(\lambda r)}{F_3(\lambda)} (1 + K_{3,2}) [(1 - K_{2,1}e^{-2\lambda h_1}) e^{\lambda(\eta-z)} + \\
 & + (1 - K_{2,1}e^{2\lambda h_1}) e^{-\lambda(\eta+z)}] d\lambda; \quad (15)
 \end{aligned}$$

в) при расположении ТИТ в третьем слое:

$$\begin{aligned}
 \Phi_{1,3}(r, z) &= \frac{I\rho_3}{4\pi} \int_0^{\infty} \frac{J_0(\lambda r)}{F_3(\lambda)} (1 - K_{2,1})(1 - K_{3,2})(e^{\lambda(z-\eta)} + e^{-\lambda(z-\eta)}) d\lambda; \\
 \Phi_{2,3}(r, z) &= \frac{I\rho_3}{4\pi} \int_0^{\infty} \frac{J_0(\lambda r)}{F_3(\lambda)} (1 - K_{3,2}) [(1 - K_{2,1}e^{-2\lambda h_1}) e^{\lambda(z-\eta)} + (1 - K_{2,1}e^{2\lambda h_1}) e^{-\lambda(z+\eta)}] d\lambda; \\
 \Phi_{3,3}(r, z) &= \frac{I\rho_3}{4\pi} \left[ \frac{1}{\sqrt{r^2 + (z-\eta)^2}} + \right. \\
 & \left. + \int_0^{\infty} \frac{J_0(\lambda r)}{F_3(\lambda)} (1 + K_{2,1}K_{3,2}e^{2\lambda(h_2-h_1)} - K_{2,1}e^{2\lambda h_1} - K_{3,2}e^{2\lambda h_2}) e^{-\lambda(z+\eta)} d\lambda \right]. \quad (16)
 \end{aligned}$$

Для проверки выражений (14)—(16) применен переход от трехслойной модели к двухслойной, который осуществлялся объединением двух





б) при расположении ТИТ во втором слое:

$$\begin{aligned}\varphi_{1,2}(r, z) &= \frac{I\rho_2}{4\pi} (1 - K_{2,1}) \sum_{n=0}^m K_n (\alpha_{12} + \alpha_{13} + K_{3,2}\alpha_9 + K_{3,2}\alpha_{10}); \\ \varphi_{2,2}(r, z) &= \frac{I\rho_2}{4\pi} \left[ \alpha_1 + \sum_{n=0}^m K_n (\alpha_{12} + K_{3,2}(\alpha_8 + \alpha_9 + \alpha_{10}) - \right. \\ &\quad \left. - K_{2,1}K_{3,2}(\alpha_{14} + \alpha_{15} + \alpha_{17}) - K_{2,1}\alpha_{16}) \right]; \\ \varphi_{3,2}(r, z) &= \frac{I\rho_2}{4\pi} (1 + K_{3,2}) \sum_{n=0}^m K_n (\alpha_{11} + \alpha_{12} - K_{2,1}\alpha_5 - K_{2,1}\alpha_{16});\end{aligned}\quad (19)$$

в) при расположении ТИТ в третьем слое:

$$\begin{aligned}\varphi_{1,3}(r, z) &= \frac{I\rho_3}{4\pi} (1 - K_{2,1})(1 - K_{3,2}) \sum_{n=0}^m K_n (\alpha_{12} + \alpha_{13}); \\ \varphi_{2,3}(r, z) &= \frac{I\rho_3}{4\pi} (1 - K_{3,2}) \sum_{n=0}^m K_n (\alpha_{12} + \alpha_{13} - K_{2,1}\alpha_4 - K_{2,1}\alpha_{16}); \\ \varphi_{3,3}(r, z) &= \frac{I\rho_3}{4\pi} \left( \alpha_1 + \sum_{n=0}^m K_n (\alpha_{12} + K_{2,1}K_{3,2}\alpha_{18} - K_{2,1}\alpha_{16} - K_{3,2}\alpha_{19}) \right),\end{aligned}\quad (20)$$

где  $\alpha_i$  — коэффициенты, имеющие следующий вид:

$$\begin{aligned}\alpha_{1,2} &= \frac{1}{\sqrt{r^2 + (z \mp \eta)^2}}; \quad \alpha_{3,4} = \frac{1}{\sqrt{r^2 + (z \pm \eta \pm 2h_1 \pm h_n)^2}}; \\ \alpha_{5,6} &= \frac{1}{\sqrt{r^2 + (z \mp \eta \pm 2h_1 \pm h_n)^2}}; \quad \alpha_{7,8} = \frac{1}{\sqrt{r^2 + (z \pm \eta \pm 2h_2 \pm h_n)^2}}; \\ \alpha_{9,10} &= \frac{1}{\sqrt{r^2 + (z \mp \eta \pm 2h_2 \pm h_n)^2}}; \quad \alpha_{11,12} = \frac{1}{\sqrt{r^2 + (z \mp \eta + h_n)^2}}; \\ \alpha_{13} &= \frac{1}{\sqrt{r^2 + (z - \eta - h_n)^2}}; \quad \alpha_{14,15} = \frac{1}{\sqrt{r^2 + (z \pm \eta \mp 2h_1 - 2h_2 - h_n)^2}}; \\ \alpha_{16} &= \frac{1}{\sqrt{r^2 + (z + \eta - 2h_1 + h_n)^2}}; \quad \alpha_{17,18} = \frac{1}{\sqrt{r^2 + (z \mp \eta \mp 2h_1 \pm 2h_2 + h_n)^2}}; \\ \alpha_{19} &= \frac{1}{\sqrt{r^2 + (z + \eta - 2h_2 + h_n)^2}}.\end{aligned}$$

## Выводы

Полученные выражения (18)—(20) являются основой для моделирования различных физических процессов, в частности для расчета сложного неэквипотенциального ЗУ произвольной конфигурации, размещенного в трехслойном грунте. Разработанная модель позволяет выполнять автоматизированный расчет потенциала электрического поля в любой точке каждого слоя с помощью ПЭВМ.

A mathematical model of the point current source arranged in the earth with the three-layered structure has been developed. An adequacy of the proposed model to the already known models with current source arrangement in the bilayered structure.

1. *Бороницький М. А., Карпець І. Я., Лях В. В. та ін.* Правила улаштування електроустановок. Розділ 1. Загальні правила. Заземлення і захисні заходи електробезпеки. — Київ : Об'єднання енергетичних підприємств «Галузевий резервно-інвестиційний фонд розвитку енергетики», 2006. — 71 с.
2. *Линк И. Ю., Колиушко Д. Г., Колиушко Г. М.* Математическая модель неэквипотенциального заземляющего устройства подстанции, размещенного в двухслойном грунте // *Электрон. моделирование.* — 2003. — **25**, № 2. — С. 99—111.
3. *Бургсдорф В. В., Якобс А. И.* Заземляющие устройства электроустановок. — М. : Энергоатомиздат, 1987. — 400 с.
4. *Бургсдорф В. В.* Расчет заземлителей в неоднородных грунтах // *Электричество.* — 1954. — № 1. — С. 15—25.
5. *Максименко Н. Н.* Заземляющие устройства в многолетнемерзлых грунтах. — Норильск: НГМК, 1974. — 503 с.
6. *Колиушко Д. Г., Руденко С. С.* Аппроксимация функции, характеризующей трехслойную модель грунта, методом наименьших квадратов // *Вісник Національного технічного університету «Харківський політехнічний інститут «Техніка та електрофізика високих напруг».* — 2011. — № 16. — С. 126—132.
7. *Тихонов А. Н., Самарский А. А.* Уравнения математической физики. — М. : Главиздат, 1953. — 679 с.

Поступила 22.08.11

*КОЛИУШКО Денис Георгиевич, канд. техн. наук, ст. науч. сотр. кафедры «Автоматизированные электромеханические системы» Национального технического университета «Харьковский политехнический ин-т». В 1996 г. окончил Харьковский государственный политехнический университет. Область научных исследований – диагностика заземляющих устройств объектов электроэнергетики.*

*РУДЕНКО Сергей Сергеевич, инженер III категории Научно-исследовательского и проектно-конструкторского ин-та «Молния» Национального технического университета «Харьковский политехнический ин-т». В 2010 г. окончил Национальный технический университет «Харьковский политехнический ин-т». Область научных исследований — математическое моделирование электромагнитных полей в неоднородных средах.*